_____.- (GS-AH-3001). Estratificación cruzada en las areniscas de la Fm. Gollbás.

_____ - (GS-AH-3002). Panorámica de las calizas arrecifales de la Fm. Tossa.

(GS-AH-3003). Aspecto de las calizas arrecifales de la Fm. Tossa.

(GS-AH-3004). Aspecto de las calizas arrecifales de la Fm. Tossa.

_____.- (GS-AH-3005). Aspecto de las calizas tableadas del Oligoceno inferior en el Pto. de la Panadella.

_____.- (GS-AO-9901). Terraza del río Dondara al Sur de Curullada.

_____.- (GS-AO-9902). Paleocanal arenoso al E de Curullada.

_____ - (GS-AO-9903). Depósitos de glacis al N. de Guimera.

____ - (GS-AO-9904). Depósitos de glacis al N. de Guimera.

_____.- (GS-AO-9905). Zona de fractura al Sur de Segura.

_____ - (GS-AO-9906). Depósitos de coluvión en el Valle del Corb al S. de Albió.

_____.- (GS-AO-9907). Paleocanal arenoso erosivo sobre los términos carbonatados al SO de Cervera.

_____.- (GS-AO-9908). Paleocanal arenoso erosivo sobre los términos carbonatados al SO de Cervera.

_____.- (GS-RM-9909). Deformaciones en depósitos de fondo de valé, posiblemente provocadas por halocinesis de los yesos de Talavera infrayacientes.

_.- (GS-RM-9910). Pliegues enterolíticos en yesos de Talavera (U. 27).

_____.- (GS-RM-9911). Nódulos de carbonato de génesis edáfica en las lutitas versicolores de la U. 25.

_____.- (GS-RM-9912). Falla afectando a la alternancia de areniscas y lutitas de la U. 17 junto Argansola.

_____.- (GS-RM-9913). Falla derecha afectando a las calizas y lutitas de La Panadella (U. 25-26) en el Puerto de La Panadella.

.- (GS-RM-9914). Aspecto de detalle de los limos y gravas de los depósitos de Valé (U. 36).

.- (GS-RM-9915). Cambio lateral de facies entre los yesos de Aguiló (U. 20) y las Margas de Civis (U. 21). Deformaciones halocinéticas.

_____.- (GS-RM-9916). Carbonataciones edáficas en depósitos de superficie estructural (U. 32).

_____.- (GS-RM-9917). Canales areniscosos de la U. 17.

_____ - (GS-RM-9918). Niveles de canales conglomeráticos de la U. 17.

_____.- (GS-RM-9919). Porosidad móldica de yesos en las calizas de Sant. Gallard (U. 16).

_.- (GS-RM-9920). Tramo arcilloso con edafizaciones de tipo pseudogley en niveles correspondientes a la U. 28.

_____.- (GS-RM-9921). Arroyada en canales tras una fuerte tormenta.

_____.- (GS-RM-9922). Canal conglomerático de la U. 24 pasando a depósitos areniscosos de margen de canal y lutitas de llanura de inundación.

_____.- (GS-RM-9923). Aspecto externo de los depósitos de superficies estructurales (U. 32).

_____ - (GS-RM-9924). Compactación diferencial en alternancias caliza-lutita de la Formación Tárrega. (U. 29).























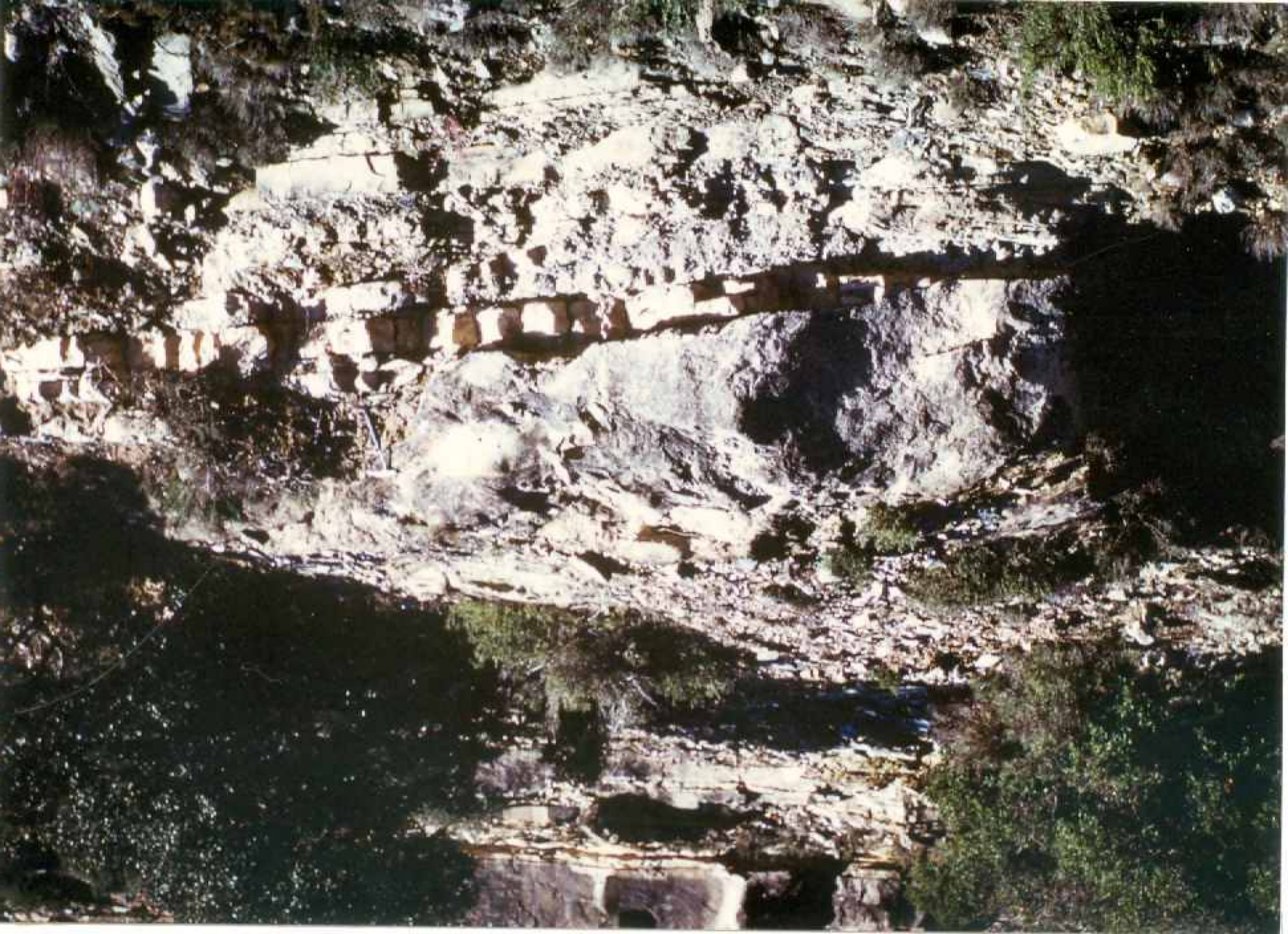










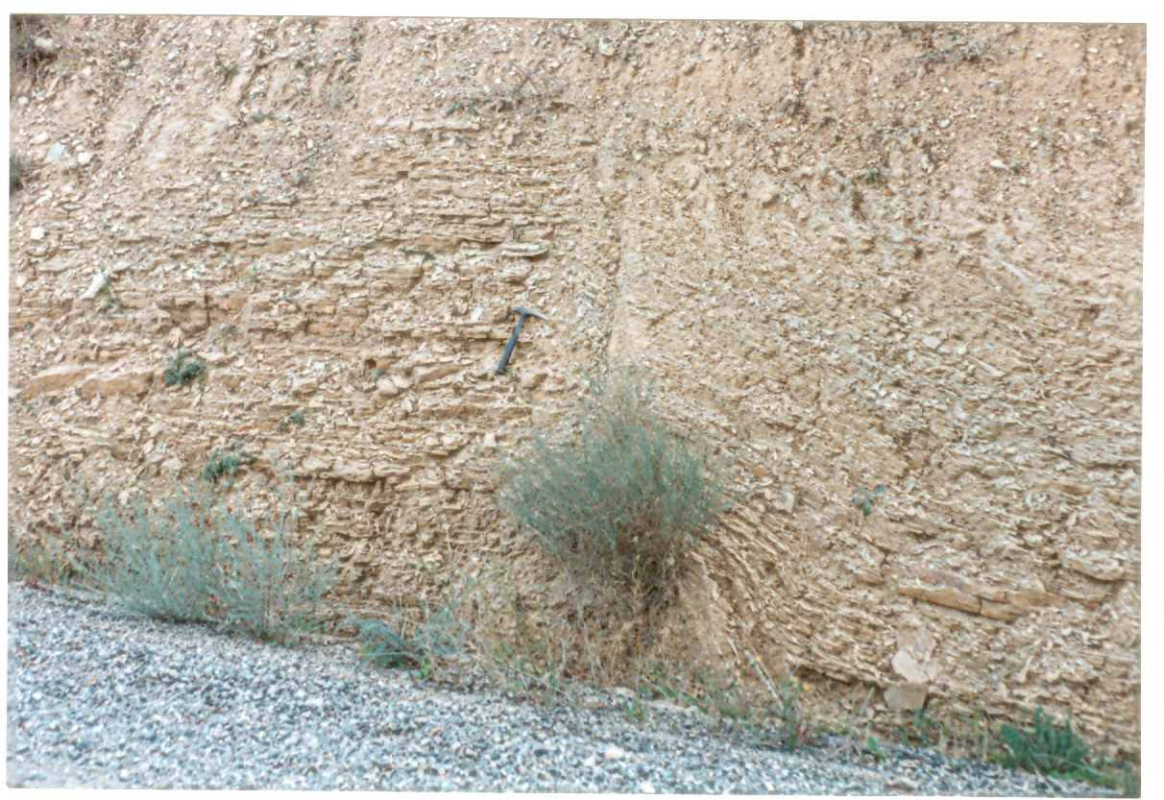








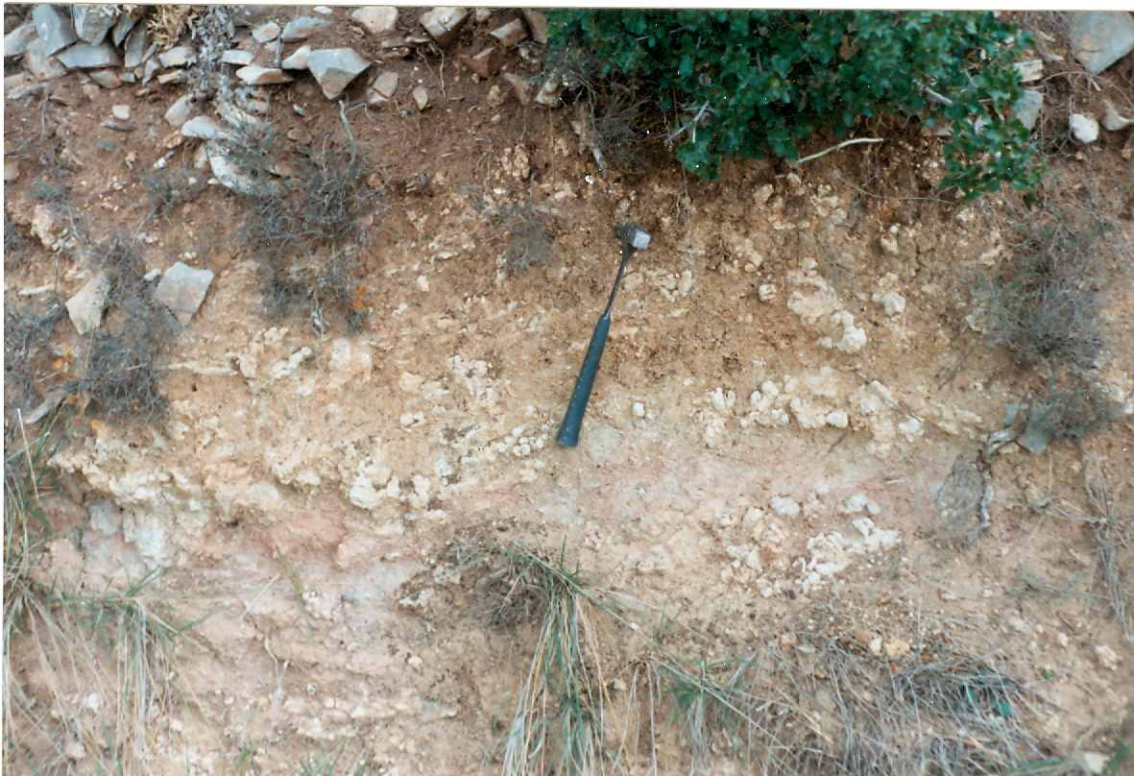
















Estwing











